

Рис. 2.

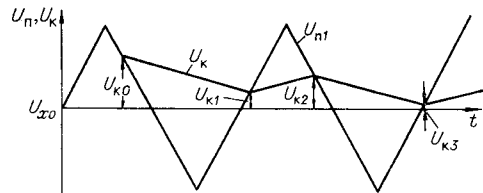


Рис. 3.

Величины $\Delta_1, \Delta_2, \dots, \Delta_n$ представляют собой члены геометрической прогрессии, сумма которых

$$\sum_{i=1}^n = \frac{\Delta_1}{C} \left[1 - \left(\frac{0,89 S_{\text{пmax}} - S_k}{0,89 S_{\text{пmax}} + S_k} \right)^{2n} \right]. \quad (2)$$

Используя (2), можно найти время переходного процесса, необходимое для изменения амплитудного значения компенсирующего напряжения от U_{k0} до U_{kn} :

$$t = T_n \frac{\log \left[1 - \frac{S_{\text{пmax}} (U_{k0} - U_{kn})}{U_{k0} S_{\text{пmax}} - 1,57 U_n S_k} \right]}{2 \log \frac{0,89 S_{\text{пmax}} - S_k}{0,89 S_{\text{пmax}} + S_k}}. \quad (3)$$

Например, при $T_n = 0,2$ с, $U_n = 1$ мВ, $S_k = 6$ мВ/с, $U_{k0} = 0,92$ мВ через 0,4 с U_{kn} становится равным 0,46 мВ.

Таким образом, используя комбинированные схемы автокомпенсаторов, сочетающие методы следящего преобразования и поразрядного кодирования, можно достаточно просто добиться подавления периодической помехи, наложенной на постоянный сигнал.

Поступило в редакцию
12 мая 1970 г.,
окончательный вариант —
2 февраля 1971 г.

УДК 681.142.07 : 53.087.92(088.8)

Э. М. БРОМБЕРГ, В. С. ГОЛЬДМАН

(Куйбышев)

АВТОКОРРЕКТИРУЮЩИЙСЯ ИНДУКТИВНО-ЧАСТОТНЫЙ ПРЕОБРАЗОВАТЕЛЬ ЛИНЕЙНЫХ ПЕРЕМЕЩЕНИЙ

Частотно-цифровые преобразователи линейных перемещений с индуктивными первичными элементами находят широкое применение в устройствах информационной измерительной техники [1].

Основными недостатками известных индуктивно-частотных преобразователей являются: значительный уход частоты под влиянием дестабилизирующих факторов, в особенности температуры; неидентичность параметров отдельных элементов преобразователей, нелинейная зависимость частоты от перемещения, ограничивающая диапазон измерения.

Ниже изложен метод повышения точности индуктивно-частотного преобразователя за счет использования нового способа автокоррекции и описано устройство для измерения линейных перемещений, реализующее указанный способ [2, 3].

Характеристика любого индуктивно-частотного преобразователя на определенных участках с достаточной степенью точности может быть аппроксимирована некоторым числом отрезков гипербол, описываемых уравнениями:

$$f = \frac{k_i}{\delta}, \quad i = 1, 2, \dots, n, \quad (1)$$

где n — число отрезков аппроксимации; $k = \frac{df_i}{d\delta_i}$ — коэффициент чувствительности i -го участка аппроксимации; δ — входное перемещение.

Нестабильность характеристики $f(\delta)$ определяется нестабильностью коэффициента k_i , изменяющегося при вариациях внешних условий (температуры, влажности, напряжения и частоты питания), а также с течением времени. Последнее особенно сказывается при длительных измерениях.

Таким образом,

$$k_i = k_i(v_1, v_2, v_3, \dots, v_k, t),$$

где v_1, \dots, v_k — дестабилизирующие факторы; t — время.

Автокоррекция осуществляется за счет отработки определенного алгоритма функционирования, что позволяет исключить влияние нестабильности коэффициента k на точность частотного преобразователя.

Структурная схема преобразователя представлена на рис. 1, а. Преобразователь состоит из индуктивного датчика 1, являющегося элементом задающего контура генератора с самовозбуждением 3, электронного коммутатора 2, преобразователя частоты в число импульсов 4, блока управления 5, арифметического устройства 6 и устройства регистрации 7.

Для осуществления автокоррекции используется специальная конструкция индуктивного датчика с открытой магнитной цепью. Обмотка датчика содержит три последовательно соединенные секции: среднюю — основную и две крайние — дополнительные. Крайние секти идентичны друг другу.

Индуктивность датчика изменяется под воздействием измеряемой величины, смещающей сердечник относительно катушки. При этом осуществляется преобразование $L = \varphi_1(\delta)$. На выходе измерительного генератора 3 получаем $f = \varphi_2(L)$. К колебательному контуру автогенератора через управляемый коммутатор 2 подключены две из трех последовательно соединенных секций обмотки: средняя и одна из крайних (I и II или II и III) (см. рис. 1, б). Таким образом, одна из крайних секций всегда остается свободной, не влияя на индуктивность датчика и на значение выходной частоты измерительного генератора.

Сущность автокоррекции заключается в следующем. В процессе измерения электронный коммутатор 2 по команде, поступающей из блока управления 5, производит переключение секций датчика. К колебательному контуру оказываются подключенными средняя II и ранее свободная крайняя секция обмотки I. Секция III отключается.

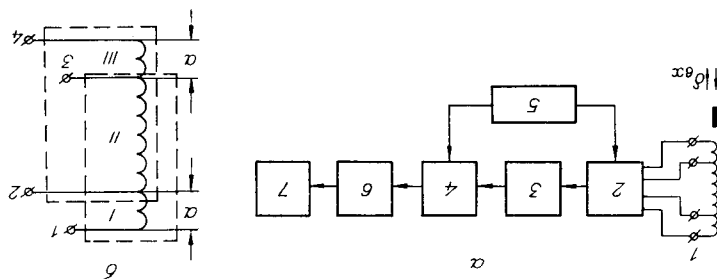


Рис. 1.

Указанное переключение эквивалентно перемещению сердечника внутри катушки на постоянную величину a , равную длине крайней секции датчика. На выходе измерительного генератора при этом происходит изменение частоты, соответствующее указанному перемещению сердечника

$$\Delta f_a = f_{\delta_i} - f_{\delta_{i+a}}.$$

Время измерения t_i выбирается намного меньше периода $T_{\text{вх}}$ изменения входной величины: $t_i \ll T_{\text{вх}}$. Поэтому с достаточной степенью точности режим измерения можно считать статическим, т. е. $x_{\text{изм}} = \text{const}$ за $\Delta t = t_i$. Таким образом, за время измерения для

одного и того же значения входного перемещения за счет переключения секций датчика в колебательном контуре измерительного генератора имеем

$$f_1 = \frac{k_i}{\delta}; \quad f_2 = \frac{k_i}{\delta + a}. \quad (2)$$

Характеристика $f(\delta)$ индуктивно-частотного преобразователя с соленоидальным датчиком представлена на рис. 2. Из ее рассмотрения следует, что уравнения (2) справедливы для всех точек характеристики, за исключением начального участка $\Delta_{\text{нач}} \approx 0,2l_k$, не являющегося рабочим за счет низкой чувствительности.

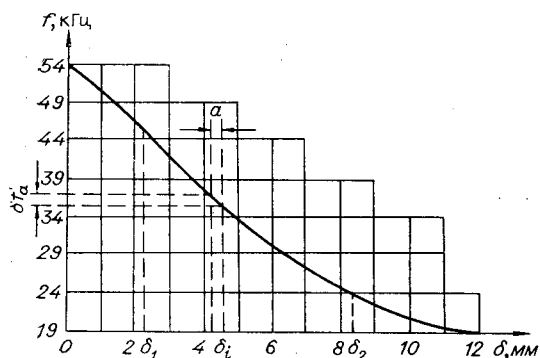


Рис. 2.

В преобразователе частоты в число импульсов f_1 и f_2 преобразуются в соответствующие числа импульсов N_1 и N_2 .

Некоторому δ_i -му положению сердечника соответствуют определенные значения индуктивности (L_i), частоты (f_i) и числа импульсов (N_i). Из системы

$$\begin{cases} N_1 = \frac{k_i}{\delta}; \\ N_2 = \frac{k_i}{\delta + a} \end{cases} \quad (3)$$

следует

$$\delta = \frac{N_2}{N_1 - N_2} a. \quad (4)$$

Алгоритм (4) реализуется арифметическим устройством 6 преобразователя. Длина a крайних секций обмотки датчика выбирается такой, чтобы смещение рабочей точки на характеристике $f(\delta)$ при переключении секций находилось в пределах i -го участка аппроксимации. В этом случае $k_i = \text{const}$ на участке $[\delta_i, \delta_i + a]$. Таким образом, коэффициент k не входит в конечное выражение для измеряемого перемещения, и точность измерения определяется только степенью идентичности крайних секций обмотки датчика и точностью аппроксимации рабочего участка характеристики преобразователя.

Результат измерения фиксируется в цифровой форме регистрирующим устройством 7.

Для измерения перемещений в диапазоне от 0 до 6 мм [рабочий участок характеристики равен (δ_1, δ_2)] датчик имеет следующие параметры: $l_k = 12$ мм; $l_k/d_k = 3,5$; $a = 0,5$ мм; $w = 1200$; $w_{\text{доп}} = 40$. Материал сердечника — феррит 600НН. Рабочий участок характеристики 2,5–8,5 мм. Экспериментальные исследования показали, что изменения температуры в диапазоне $20 \pm 50^\circ\text{C}$ и напряжения питания в пределах $12 \text{ В} \pm 50\%$ не сказываются на результатах измерения. Погрешность преобразователя составляет 0,2%.

ЛИТЕРАТУРА

1. В. С. Гольдман, Ю. М. Сахаров. Индуктивно-частотные преобразователи неэлектрических величин. М., «Энергия», 1968.
2. Э. М. Бромберг. Устройство для измерения линейных перемещений. Авторское свидетельство № 257032. — ОИПОТЗ, 1969, № 35.
3. Э. М. Бромберг, И. А. Шевченко. Самокорректирующийся цифровой вольтметр. Авторское свидетельство № 267748. — ОИПОТЗ, 1970, № 13.

Поступила в редакцию
21 декабря 1970 г.